

载多柔比星二氧化钛纳米粒的制备及体外评价

徐爱仁，应景艳，何文跃，陈武，马卫成^{*}(宁波市泌尿肾病医院药剂科，浙江 宁波 315100)

摘要：目的 制备载多柔比星(doxorubicin, DOX)的二氧化钛(TiO₂)纳米粒，并考察其体外释放百分率及细胞毒性。方法 通过水热法合成 DOX 的 TiO₂ 纳米粒，采用透射电镜及 X-射线衍射仪对其进行表征，紫外可见分光光度法测定载药量及体外释放，采用 MTT 法分析其对 MCF-7 细胞和 Hela 细胞的细胞毒性。结果 所制备的纳米粒分散均匀，外观呈梭状，长度约为 200 nm，在水中的载药量达 10.85%，体外释放具有 pH 敏感性，空白纳米粒细胞毒性较低，载药纳米粒的细胞毒性与游离多柔比星相当。结论 所制备的 TiO₂ 纳米粒具有较高的载药量及 pH 敏感的体外释放性能，可作为 DOX 的载体。

关键词：细胞毒性；二氧化钛；多柔比星；pH 敏感释放

中图分类号：R943 文献标志码：B 文章编号：1007-7693(2014)08-0962-04

DOI: 10.13748/j.cnki.issn1007-7693.2014.08.013

Preparation and Evaluation of Doxorubicin-loaded Titanium Dioxide Nanoparticles

XU Airen, YING Jingyan, HE Wenyue, CHEN Wu, MA Weicheng^{*}(Department of Pharmacy, Renopathy and Urology Hospital, Ningbo 315100, China)

ABSTRACT: OBJECTIVE To prepare doxorubicin(DOX)-loaded titanium dioxide(TiO₂) nanoparticles and evaluate *in vitro* release and cytotoxicity. **METHODS** The TiO₂ nanoparticles were synthesized using solvothermal reaction and then characterized with TEM and X-ray diffraction (XRD). The drug loading capacity and release profile were determined using UV-Vis spectrophotometer. The cytotoxicity against MCF-7 and Hela cells was evaluated by MTT method. **RESULTS** The obtained TiO₂ nanoparticles with the length about 200 nm were well dispersed in water. The drug loading capacity in water was 10.85%. The release of DOX *in vitro* was pH sensitive. No obvious cytotoxicity of TiO₂ nanoparticles was observed. The drug-loaded nanoparticles showed equivalent cytotoxicity against MCF-7 and Hela cells with free DOX. **CONCLUSION** TiO₂ nanoparticles which show high drug loading capacity and controllable drug release can be used as a novel carrier for the antitumor drug doxorubicin.

KEY WORDS: cytotoxicity; titanium dioxide(TiO₂); doxorubicin; pH sensitive release

随着纳米科技的发展，纳米载体相对于传统材料显示出明显的优势。大量研究表明，纳米粒子能将治疗药物有效地传递到靶组织或靶细胞，增加药物体内循环时间，避免药物降解失活。目前可用于治疗肿瘤的纳米给药系统层出不穷，如树枝状高分子、脂质体、聚合纳米粒、蛋白纳米粒、磁性纳米粒等。这其中，无机材料因其具有磁性、光催化、声催化等特殊性质，在药物传递方面的应用越来越受重视。在众多无机药物载体中，基于二氧化钛(TiO₂)的载体研究较为广泛。TiO₂作为一种新型功能纳米材料，具有良好的生物相容性^[1]，作为药物载体还具有显著的细胞穿透能力，能到达细胞质及细胞核^[1-2]，同时由于其具有较高的表面积($300 \text{ m}^2 \cdot \text{g}^{-1}$)^[3]，可负载大量药物，

此外，TiO₂具有光催化及超声催化作用，激发后可产生活性氧簇(ROS)，具有良好的抗肿瘤效果^[4-5]。

多柔比星(doxorubicin, DOX)是一种蒽环类抗肿瘤抗生素，可抑制 RNA 和 DNA 的合成，对多种肿瘤均有作用，属周期非特异性药物，临床应用较广^[6]。但是由于存在明显的心脏、骨髓抑制等不良反应，临床使用受到一定限制。本实验制备了 TiO₂ 纳米粒，并负载抗肿瘤药物多柔比星，对载药粒子的体外释放及细胞毒性进行了研究。

1 材料与仪器

1.1 材料

四氯化钛(TiCl₄)、氨水(NH₃·H₂O)、二甲基亚砜(DMSO)均为分析纯(国药化学试剂有限公司)；DOX(北京华奉联博科技有限公司，批号：

基金项目：宁波市自然科学基金项目(2012A610182)

作者简介：徐爱仁，男，主管药师 Tel: (0574)83039130 E-mail: xuairen@126.com *通信作者：马卫成，男，主任中药师 Tel: (0574)83038595 E-mail: weichengma@126.com

HF100519, 含量>98.0%); 人乳腺癌 MCF-7 细胞(中科院上海生化与细胞所); 人宫颈癌细胞 Hela 细胞(浙江大学医学院附属邵逸夫医院中心实验室); 四甲基氮唑蓝(MTT, 上海普飞生物技术有限公司); Hoechst 33342(美国 Sigma-Aldrich); 其他试剂均为分析纯。

1.2 仪器

JEM-1200EX 透射电子显微镜(日本电子公司); TU-1800PC 紫外可见分光光度仪(北京普析通用仪器有限公司); BT125D 精密电子天平(德国赛多利斯集团); MK3 酶标仪(美国 Thermo); TGL-168 高速台式离心机(上海安亭科学仪器厂); 培养箱(德国 HERAEUS), X 射线衍射仪(荷兰 X'Pert PRO)。

2 方法

2.1 纳米 TiO₂ 的制备

采用水热法制备 TiO₂ 纳米粒。快速搅拌下将 2 mL TiCl₄ 滴加到 100 mL 去离子水中, 继续搅拌 10 min, 生成纳米 TiO₂ 前驱体, 边搅拌边加入 NH₃·H₂O, 调节 pH 至 9.3, 继续搅拌 30 min, 离心洗涤数次后, 转移至内衬聚四氟乙烯的不锈钢反应釜中进行水热反应, 220 °C 反应 3 h 后, 自然冷却至室温, 取出后洗涤 3 次, 60 °C 干燥, 然后转移至马弗炉中 350 °C 煅烧 2 h。

所得产物形态利用 TEM 进行观察, 用紫外分光光度计测定吸收光谱, 测定范围 350~800 nm。利用 XRD 考察 TiO₂ 纳米粒的晶体特征, 具体条件为: 铜靶, 高压强度 40 kV, 管流 200 mA, 扫描范围 10°~80°(2θ)。

2.2 TiO₂-DOX 的制备

将约 3 mg DOX 与 10 mL 的 0.4 mg·mL⁻¹ TiO₂ 在水中搅拌过夜, 然后 10 000 r·min⁻¹ 离心去除未结合的 DOX, 所得物用 pH 7.4 PBS 洗涤数遍, 直到上清液完全无色, 所得物(标记为 TiO₂-DOX)重悬后 4 °C 保存。上清液合并收集, 用 UV-Vis 紫外分光光度计 488 nm 测定吸光度, 根据标准曲线计算载药量。

2.3 TiO₂-DOX 纳米粒的体外释放研究

精密称取 TiO₂-DOX 纳米粒适量, 分别分散于 pH 5.0, 6.5, 7.4 介质中, 配置成 1 mg·mL⁻¹ 的溶液, 在 37 °C 下恒温振荡(100 r·min⁻¹) 进行体外释放考察, 分别在 2, 4, 6, 8, 10, 12, 16, 24 h

时间点取样, 10 000 r·min⁻¹ 离心, 取出上清液, 同时补充新鲜释放介质, 上清液于 488 nm 测定吸光度, 计算释放百分率。

2.4 空白及载药纳米粒的细胞毒性

采用 MTT 法考察游离 DOX、空白 TiO₂ 和 TiO₂-DOX 纳米粒对人乳腺癌 MCF-7 细胞及人宫颈癌 Hela 细胞的细胞毒性作用。取对数生长期的细胞, 胰蛋白酶消化后 PBS 洗涤, 制成 4×10⁴·mL⁻¹ 的细胞悬液, 将该悬液按每孔 100 μL 加入 96 孔板中, 每孔细胞数为 4 000 个, 在 37 °C, 5% CO₂ 条件下孵育 24 h, 待贴壁后, 加入 25 μL 不同浓度的 DOX、空白 TiO₂ 和 TiO₂-DOX 纳米粒的 PBS 溶液, 继续孵育 24 h 后, 每孔加入 31.5 μL 5 mg·mL⁻¹ 的 MTT 溶液, 继续培养 4 h, 吸去原液, 加入 200 μL 二甲基亚砜(DMSO), 10 min 后, 在酶标仪上以 570 nm 波长测定 A 值, 计算生存率。上述试验, 每组重复 3 次, 每个浓度设 4 个复孔。

3 结果

3.1 TiO₂ 的表征

利用 TEM 对 TiO₂ 纳米粒的形态进行表征, 见图 1。TiO₂ 分散良好, 无明显团聚现象, 外观呈类梭状, 长度约为 200 nm, 宽度约为 50 nm。利用 X 射线衍射对晶体类型进行表征, 见图 2。从图中看出, TiO₂ 纳米粒的晶体结构为锐钛矿型, 而已有报道证明, 锐钛矿相 TiO₂ 纳米粒相对金红石相具有更好的催化性能, 因此该纳米粒在肿瘤催化治疗方面具有一定前景。利用紫外分光光度计测定 TiO₂ 纳米粒的吸收光谱, 见图 3, 结果显示纳米粒对波长低于 450 nm 的光具有较强的吸收能力, 为典型 TiO₂ 吸收峰。

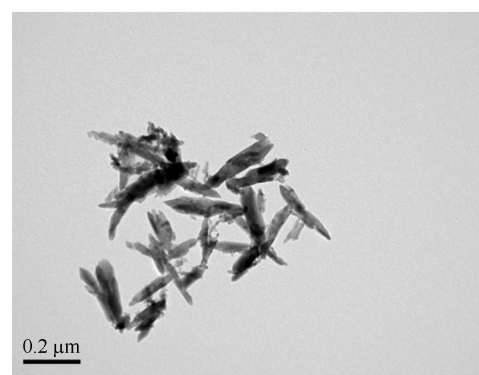


图 1 TiO₂ 的透射电镜图片

Fig. 1 Transmission electron microscopy (TEM) image of TiO₂

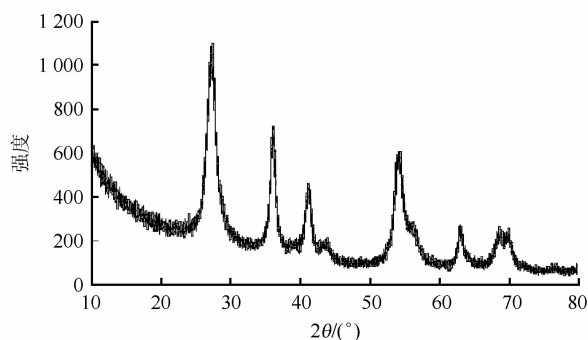


图 2 TiO_2 的 X 射线衍射图

Fig. 2 The X-ray diffraction pattern of TiO_2

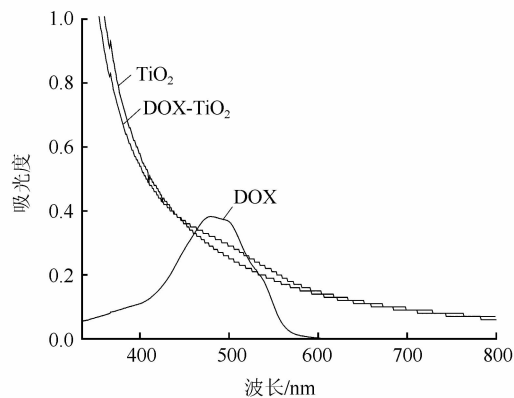


图 3 DOX、 TiO_2 及 TiO_2 -DOX 的紫外吸收曲线

Fig. 3 UV-Vis scanning spectra of DOX, TiO_2 and TiO_2 -DOX

3.2 TiO_2 纳米粒载药量测定

由于 DOX 在 488 nm 附近有特定的 UV-Vis 吸收，因此本实验利用 UV-Vis 分光光度计来检测其含量。重复测量 3 批载药 TiO_2 纳米粒，计算得到其载药量为 $(10.85 \pm 1.54)\%$ 。从 DOX、 TiO_2 及 TiO_2 -DOX 的紫外吸收曲线中可以看出， TiO_2 -DOX 在 488 nm 附近较 TiO_2 有明显的吸收，说明 DOX 成功负载到 TiO_2 纳米粒表面。

3.3 TiO_2 -DOX 的体外释放研究

正常微环境的 pH 约为 7.0，但肿瘤部位 pH 值较正常组织低^[7]，此外细胞内的溶酶体、内涵体 pH 亦较低，约为 5.0~6.5^[8]。因此本实验应用 3 种不同 pH 值的 PBS 溶液(pH 5.0, 6.5, 7.4)作为释放介质研究载药纳米粒的释放情况，以模拟生物体内环境。 TiO_2 -DOX 在不同 pH 值条件下随时间变化的体外释放结果见图 4。从图中可以看出，在 pH 7.4 的 PBS 介质中，DOX 释放较慢，24 h 累积释放量为 50% 左右。随着 pH 的降低，药物释放加快，在 pH 5.0 介质中，24 h 累积释放超过 70%。这主要是由于 DOX 在酸性条件下溶解度较高，当

pH 降低时 DOX 以解离状态存在，DOX 与 TiO_2 之间的疏水作用力减弱，因此释放速度加快^[9-10]。

由于 DOX 具有较强的心脏毒性，因此 TiO_2 纳米粒的这种 pH 依赖性释放能更好的促进药物在肿瘤部位的释放，降低对心脏、肾脏等正常组织的不良反应^[11-12]。

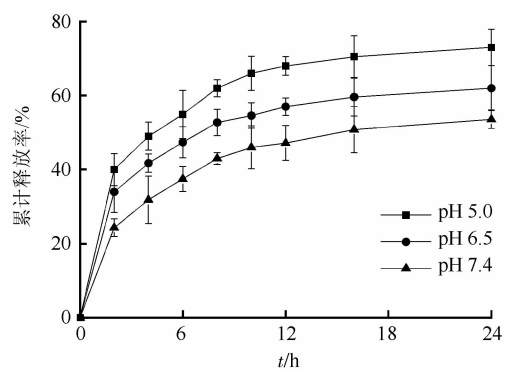


图 4 TiO_2 -DOX 在不同 pH 介质中的体外释放

Fig. 4 The release of TiO_2 -DOX in media with different pH

3.4 细胞毒性

3.4.1 空白 TiO_2 纳米粒的细胞毒性 经过不同浓度的 TiO_2 纳米粒处理 24 h 后，MCF-7 及 Hela 细胞的存活率均未见显著下降，即使浓度高达 $333 \mu\text{g}\cdot\text{mL}^{-1}$ ，细胞存活率仍高于 80%，说明 TiO_2 具有较低的细胞毒性，结果见图 5。

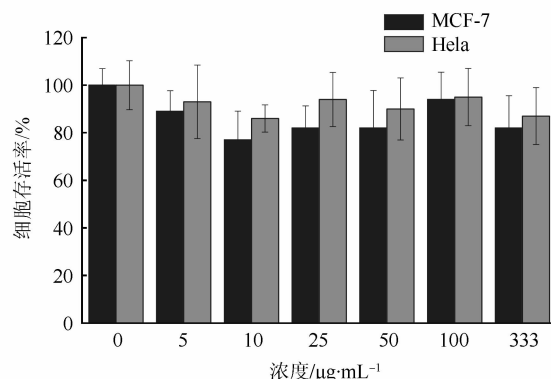


图 5 与不同浓度 TiO_2 孵育 24 h 后 MCF-7 和 Hela 的细胞存活率曲线

Fig. 5 Cell viability curves of MCF-7 and Hela cells incubated with different concentrations of TiO_2 for 24 h

3.4.2 载药纳米粒 TiO_2 -DOX 的细胞毒性 MCF-7、Hela 细胞分别与 DOX、 TiO_2 -DOX 孵育 24 h 后的细胞存活率变化见图 6。从图中可以看出，DOX 和载 DOX 纳米粒的细胞毒性均有浓度依赖性，即随着浓度的增长，细胞生存率下降。对于 KB 细胞

而言，载药纳米粒表现出与游离多柔比星相当的细胞毒性，说明 TiO_2 表面负载的药物能有效释放。从 MCF-7 的毒性实验结果可以看出， TiO_2 -DOX 表现出更强的细胞毒性，而药物释放结果(图 4)显示，药物释放相对较慢，12 h 释放度低于 50%，以上结果表明， TiO_2 可以协助药物进入细胞，以增加药物的毒性，同时也表明 TiO_2 在作为药物载体方面具有良好的应用前景。

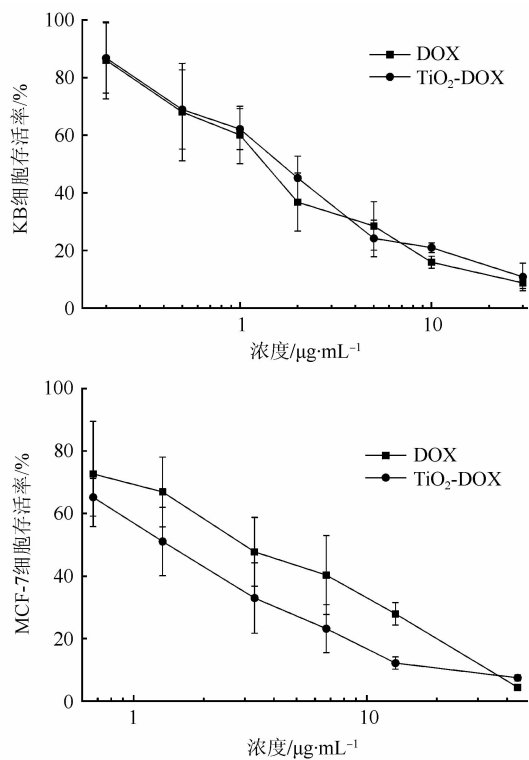


图 6 孵育 24 h 后，DOX 和 TiO_2 -DOX 对 MCF-7 和 HeLa 细胞的细胞毒性($n=3$)

Fig. 6 *In vitro* cytotoxicity of DOX and TiO_2 -DOX against MCF-7 and HeLa cells after 24 h incubation($n=3$)

4 讨论

本实验运用水热法合成 TiO_2 ，得到长度约为 200 nm、具有良好水分散性的梭状纳米粒，该纳米粒晶型为锐钛矿型。其在水中载药量为 10.85%，体外释放具有一定的 pH 敏感性，pH 越低药物释放越快，从而可以促进药物在肿瘤部位的释放，达到减少不良反应的效果。本实验采用 MTT 法研究空白载体和载药纳米粒子的细胞毒性，结果表

明，空白载体具有较低的细胞毒性，载药纳米粒子对 MCF-7 和 HeLa 细胞的细胞毒性与游离 DOX 相当。本实验在载体的催化抗肿瘤方面尚未开展，催化与化学治疗在抗肿瘤方面的联合应用有待进一步探讨，进而为该载体在抗肿瘤应用研究提供实验基础和理论依据。

REFERENCES

- [1] MAO J, WANG L, QIAN Z Y, et al. Uptake and cytotoxicity of Ce(IV) doped TiO_2 nanoparticles in human hepatocyte cell line L02 [J]. *J Nanomater*, 2010, Article ID 910434, 2010. Doi:10.1155/2010/910434.
- [2] ANDERSSON P O, LEJON C, HAMMARSTRÖM B E, et al. Polymorph- and size-dependent uptake and toxicity of TiO_2 nanoparticles in living lung epithelial cells [J]. *Small*, 2011, 7(4): 514-523.
- [3] MIKI I, KEI M, NAOYA E, et al. Thermal stability of rutile TiO_2 with high specific surface area synthesized by self-hydrolysis process [J]. *Sci Adv Mater*, 2010, 2(1): 102-106.
- [4] NINOMIYA K, OGINO C, OSHIMA S, et al. Targeted sonodynamic therapy using protein-modified TiO_2 nanoparticles [J]. *Ultrason Sonochem*, 2012, 19(3): 607-614.
- [5] YAMAGUCHI S, KOBAYASHI H, NARITA T, et al. Sonodynamic therapy using water-dispersed TiO_2 -poly(ethylene glycol) compound on glioma cells: Comparison of cytotoxic mechanism with photodynamic therapy [J]. *Ultrason Sonochem*, 2011, 18(5): 1197-1204.
- [6] BIBBY D C, TALMADGE J E, DALAL M K, et al. Pharmacokinetics and biodistribution of RGD-targeted doxorubicin-loaded nanoparticles in tumor-bearing mice [J]. *Int J Pharm*, 2005, 293(1/2): 281-290.
- [7] TANNOCK I F, ROTIN D. Acid pH in tumors and its potential for therapeutic exploitation [J]. *Cancer Res*, 1989, 49(16): 4373-4384.
- [8] HUBBELL J A. Enhancing drug function [J]. *Science*, 2003(300): 595-596.
- [9] YOU J, ZHANG G D, LI C. Exceptionally high payload of doxorubicin in hollow gold nanospheres for near-infrared light-triggered drug release [J]. *Acs Nano*, 2010, 4(2): 1033-1041.
- [10] LIU Z, SUN X M, NAKAYAMA-RATCHFORD N, et al. Supramolecular chemistry on water-soluble carbon nanotubes for drug loading and delivery [J]. *Acs Nano*, 2007, 1(1): 50-56.
- [11] SHEN H J, SHI H, MA K, et al. Polyelectrolyte capsules packaging BSA gels for pH-controlled drug loading and release and their antitumor activity [J]. *Acta Biomater*. 2013, 9(4): 6123-6133.
- [12] XIE M, SHI H, LI Z, et al. A multifunctional mesoporous silica nanocomposite for targeted delivery, controlled release of doxorubicin and bioimaging [J]. *Colloids Surf B Biointerfaces*, 2013(110): 138-147.

收稿日期：2013-10-30